



## تحلیل تاریخچه زمانی مخازن استوانه‌ای جدار نازک با در نظر گرفتن اثرات درازمدت خوردگی

الهام صادقی<sup>۱\*</sup>، سید هادی دهقان منشادی<sup>۲</sup>، سعید پیروزبخت<sup>۳</sup>

۱- دانشجوی کارشناسی ارشد مهندسی سازه، گروه مهندسی عمران، دانشگاه آزاد اسلامی واحد یزد

۲- استادیار گروه مهندسی عمران، دانشگاه آزاد اسلامی واحد یزد

۳- مریبی گروه مهندسی عمران، دانشگاه آزاد اسلامی واحد یزد

\*Sadeghielham65@gmail.com

ارسال: بهمن ماه ۹۵ پذیرش: اسفند ماه ۹۵

### خلاصه

مخازن فولادی جدار نازک در صنایع مختلف از جمله در صنایع نفت، گاز، پتروشیمی و صنایع تأمین آب قابل استفاده است. مخازن استوانه‌ای عمودی روزمیانی نمونه‌ای از چنین مخازنی می‌باشند. در این تحقیق رفتار مخازن ذخیره نفت تحت بار گذاری زلزله مورد بررسی قرار گرفته است. برای انجام مدل‌سازی از روش اجزای محدود و نرم‌افزار آباکوس استفاده شده است. در ابتدا برای اطمینان از صحت پیش‌بینی نتایج مدل‌های اجزای محدود، صحت سنجی با استفاده از نتایج تحقیقات محققین قبلی انجام شده است. پس از اطمینان از دقت پیش‌بینی‌های مدل اجزای محدود به بررسی رفتار مخازن تحت اثر زلزله پرداخته شد. متغیرهای تحقیق شامل هنسه مخزن، نوع رکورد زلزله و عمر مخزن با توجه به خوردگی جدار مخزن در طول مدت عمر مخزن است. تحلیل به صورت تحلیل دینامیکی تاریخچه زمانی و با در نظر گرفتن غیرخطی شدن مواد و هندسه انجام گرفت. نتایج حاصل از تحلیل نشان داد که به طور کلی، با افزایش عمر مخزن و کاهش ضعامت جداره آن، تغییر مکان افقی جدار در زلزله بیشتر شده است. با این حال میزان حداکثر برش پایه مخزن در طول زلزله تغییر قابل توجهی نداشته است. در اغلب نمونه‌ها بخش نزدیک به تکیه گاه مخازن دچار تغییر شکل بالایی گردیده است.

کلمات کلیدی: مخزن فولادی استوانه‌ای جدار نازک، زلزله، شیوه‌سازی اجزای محدود، تحلیل تاریخچه زمانی.

### ۱. مقدمه

مخازن یکی از شاخص‌ترین سازه‌های صنعتی است که برای نگهداری سیالات متفاوت و در گستره وسیعی به ابعاد مختلف از کوچک تا بسیار بزرگ ساخته می‌شوند. از آنجاکه انتقال مستقیم و بی‌واسطه سیالات نظر نفت، گاز و آب از محل استخراج، تولید و یا جمع‌آوری به محل مصرف، کاری است که به ندرت انجام می‌شود و به دلیل عدم توانایی در تطبیق میزان تولید و مصرف، استفاده از چنین سازه‌هایی الزامی است. کلمه مخزن، عموماً تداعی‌کننده نوع خاصی از تأسیسات مورداستفاده در صنعت است، اما در حقیقت مخازن در فرم‌های مختلف برای نگهداری هر نوع سیال، بخار و حتی جامدات بکار می‌روند.

مخازن نگهداری سیالات در اشکال و ابعاد مختلف ساخته می‌شوند که معمول ترین آن‌ها فرم استوانه‌ای قائم است. مخازن موردنظر در این پژوهش، مخازن معمولی جدار نازک استوانه‌ای قائم فولادی است که برای نگهداری سیالات در درجه حرارت محیط بکار می‌رond. آسیب‌پذیری این مخازن در برابر زلزله بسیار زیاد است و بر اساس تجربه زلزله‌های گذشته خیلی بیشتر از ارزش خود و محتویاتشان خسارات مالی به بار می‌آورند. هرچند مخازن را سازه‌هایی کاملاً انعطاف‌پذیر در نظر می‌گیرند اما در حقیقت این سازه‌ها برای جلوگیری از تخرب و یا خروج سیالات، در برابر تحریکات لرزه‌ای دارای محدودیت‌های خاص خود هستند.

طی مراحل ساخت و در طول دوره بهره‌برداری، عوامل متعددی می‌توانند موجب ایجاد اختلال در عملکرد طبیعی و پیش‌بینی‌شده‌ی مخازن گردند. از جمله این عوامل می‌توان به نواقص هندسی به وجود آمده در حین ساخت و عوامل محیطی نظیر طوفان‌ها و زلزله‌های شدید اشاره کرد. یکی از مهم‌ترین عوامل مؤثر بر کارکرد مخازن که به‌آرامی و درگذر زمان تأثیر مخرب خود را آشکار می‌سازد، پدیده‌ی خوردگی است که شدت آن بسته به ماهیت سیال درون مخزن، شرایط آب و هوایی، لایه‌های خاک زیرین و ضربه‌های مکانیکی وارد به مخزن می‌تواند متفاوت باشد.

مشاهده‌های فراوانی از آسیب و خسارات مخازن در زلزله ۱۹۶۴ آلاسکا، ۱۹۷۱ سن فرناندو، ۱۹۷۸ سندایی ژاپن، ۱۹۹۴ نورث‌ریچ ایالت‌متحده، زلزله ۱۹۹۹ ترکیه و زلزله ۱۳۸۲ بم دیده شده است. پخش سیالات قبل اشتعال و خطر گسترش آتش‌سوزی، انتشار مواد سمی و خطرناک که منجر به آلودگی محیط‌زیست می‌شود و همچنین هدر رفتن سرمایه‌های ملی، نمونه‌هایی از اثرات جبران‌نپذیر تخرب مخازن است. این مخازن می‌تواند محتوی مایعات آتش‌زا یا سمی باشد که آزاد شدن هر یک از آن‌ها باعث تحت‌الشعاع قرار گرفتن عملکرد قسمت‌های دیگر پالایشگاه و حتی شهرهای اطراف پالایشگاه می‌گردد. یکی از خطراتی که مخازن محتوی مواد سوختی و سازه‌های اطراف آن‌ها را تهدید می‌کند خطر آتش‌سوزی است. همچنین آسیب مخازن فولادی نگه دارنده آب در صنایع نفت و پتروشیمی باعث اختلال در اطفاء حریق در سازه‌ها و گسترش آتش‌سوزی می‌شود. ضمناً آسیب مخازن فولادی نگهداری آب در زمان‌های بحرانی مثلًا هنگام وقوع بلایای طبیعی (سیل، زلزله، طوفان، خشک‌سالی و...) تبعات انسانی ناگواری به دنبال دارد. از این‌رو بررسی رفتار لرزه‌ای این سازه‌ها از اهمیت بسزایی برخوردار است.

در ساخت، مونتاژ و همچنین در طول زمان بهره‌برداری از این سازه‌ها، معمولاً نقایصی به وجود آمده که آن‌ها را از فرم ایده‌آل خارج می‌کند. به عنوان نمونه می‌توان به پدیده خوردگی در طول عمر مخازن اشاره کرد که یکی از مهم‌ترین عوامل گسیختگی مخازن است. مخازن فولادی استوانه‌ای قائم به دو صورت مهارشده و مهار نشده در صنایع فوق کاربرد دارد که مکانیسم انتقال نیرو به تکیه‌گاه (شالوده) و فرم هندسه و ابعاد تکیه‌گاه در هر کدام متفاوت است. در مخازن مهارشده بدنی مخزن توسط تعدادی میله مهار که به صورت یکنواخت در پیرامون مخزن قرار دارند به شالوده متصل می‌گردد. نیروهای مختلف وارد بر پای این‌گونه مخازن از جمله برش پایه زلزله و لنگرهای واژگونی توسط میله مهارها و اصطکاک ورق کف و سطح شالوده به تکیه‌گاه منتقل می‌شود. برای ممانعت از واژگونی مخزن، شالوده باید توانایی ایجاد لنگر مقاوم داشته باشد. بدین منظور می‌بایست تمهیداتی جهت تقویت شالوده در نظر گرفته شود از جمله استفاده از شالوده با وزن زیاد و یا استفاده از شمع در زیر شالوده مخزن است. در مخازن مهار نشده هیچ‌گونه اتصال مکانیکی بین مخزن و شالوده آن وجود ندارد و برش پایه مخزن تنها توسط اصطکاک کف مخزن و شالوده آن تحمل می‌گردد. در این مخازن لنگر مقاوم ناشی از وزن سقف و دیوار مخزن است. در صورت افزایش لنگر واژگونی نسبت به لنگر مقاوم، کف مخزن از سطح شالوده جدا شده ولذا وزن قسمتی از مایع مخزن در لنگر مقاوم در برابر واژگونی مشارکت می‌نماید. درنتیجه شالوده این مخازن تنها لازم است توانایی تحمل وزن دیوار و سقف آن و نیروی فشاری لرزه‌ای پوسته را داشته باشد.

در مخازن مهارشده، مخزن به شالوده‌ای سنجین اتصال داشته تا از بلند شدگی آن به هر دلیلی جلوگیری گردد. لذا میله

مهارها می‌بایست توانایی انتقال مناسب نیروهای کششی ناشی از بلند شدن و واژگونی مخزن به شالوده را دارا باشند. درنتیجه برای مهار مخزن به تعداد زیادی میله مهار که به نحو مناسبی به بدنه مخزن و شالوده متصل شده‌اند نیاز است. در صورت اتصال نامناسب میله مهار به دیوار مخزن و همچنین بروز پدیده‌ی خوردگی در بدنه مخزن امکان پارگی دیوار مخزن در هنگام وقوع زلزله وجود دارد. درنتیجه مهار مخازن پرهزینه است بنابراین اکثر مخازن به خصوص مخازن بزرگ، بهصورت مهار نشده ساخته و در صنایع به کاربرده می‌شود.

کلیه مخازن فارغ از کاربری و شرایط متفاوت حاکم بر آن‌ها تحت تأثیر زلزله قرار گرفته و آسیب می‌بینند. مخازن استوانه‌ای مهارشده نگهداری مایعات با توجه به اندرکنش موجود بین سازه و مایع دارای رفتار دینامیکی نسبتاً پیچیده‌ای می‌باشند. عوامل متعددی ازجمله نسبت ارتفاع به قطر مخزن ( $H/D$ )، درصد پرشدنگی یا نسبت ارتفاع مایع داخل مخزن ب ارتفاع کل مخزن ( $HL/H$ ) و بیشینه شتاب زلزله ورودی نیز می‌توانند بر رفتار لرزه‌ای این مخازن تأثیرگذار باشند. آسیب‌پذیری مخازن ذخیره‌ی مایعات در برابر زلزله بسیار زیاد است و بر اساس تجربه‌ی زلزله‌های گذشته خیلی بیشتر از ارزش خود و محتویاتشان خسارات مالی به بار می‌آورند. برای نمونه می‌توان به انهدام مخازن آب در زلزله‌های ۱۹۳۳ لانگ‌بیچ و ۱۹۷۱ سن فرناندو اشاره کرد که باعث کمبود آب مصرفي عمومی شدند. با بررسی مخازن آسیب‌پذیر طی زلزله‌ای متعدد مشاهده می‌شود که در اکثر مواقع خسارات ایجادشده در نزدیکی قسمت تحتانی مخزن قرار دارند و عمدتاً ناشی از موارد زیر هستند:

۱- وقوع پدید بلندشدنگی و درنتیجه برش و شکست مهاربندی یا دیواره‌ی مخزن

۲- شکست بخش تحتانی مخزن و درنتیجه آسیب‌پذیرگی اجزاء متصل به مخزن ازجمله لوله‌ها

مشاهدات و گزارش‌های اخیر در خصوص ارزیابی عملکرد مخازن طی زمین‌لرزه‌های گوناگون نشان می‌دهد که مخازن فولادی نسبت به مخازن بتی در سطح بالاتری از خطرپذیری قرار دارند و باید در مورد آن‌ها آنالیزهای دقیق‌تری انجام شود. در این میان وجود نواقص هندسی نظری پدیده خوردگی می‌تواند برشدت خرابی این گونه سازه‌ها تحت اثر زلزله بیفزاید. لذا بررسی رفتار این گونه سازه‌ها تحت تأثیر توأم نواقص هندسی و زلزله امری ضروری به نظر می‌رسد. در این پژوهش سه نوع مخزن کوچک، متوسط و بزرگ با در نظر گرفتن اثراً ناشی از خوردگی تحت اثر زلزله مورد تحلیل و بررسی قرار می‌گیرند. در تمامی مدل‌ها ۹۰٪ ارتفاع مخزن از سیال پر است. هدف از انجام این مطالعه بررسی اثر غیریکنواختی ضخامت دیواره‌ی مخزن در اثر خوردگی روی پاسخ لرزه‌ای مخازن نظری برش پایه، لنگر واژگونی و ... با استفاده از تحلیل تاریخچه زمانی می‌باشد. بهمنظور مدل‌سازی عددی از نرم‌افزار اجزای محدود آباکوس استفاده می‌شود. هدف کاربردی تحقیق حاضر را می‌توان این گونه بیان کرد که نتایج حاصل می‌تواند در طراحی‌های لرزه‌ای مخازن لحاظ شده و بحرانی‌ترین وضعیت موجود با توجه به نتایج به دست آمده به عنوان مبنای طراحی در نظر گرفته شود. از سوی دیگر نتایج تحقیق حاضر می‌تواند در امور مربوط به نگهداری، بازرسی و همچنین مقاوم‌سازی این گونه سازه‌ها مؤثر باشد.

## ۰.۲ مواد و روش‌ها

### ۰.۲.۱ مبانی نظری تحقیق

هاسکینز و جاکوبسن در سال ۱۹۳۴ فشار ناشی از مود ضربه‌های مایع درون مخزن را به‌طور تجربی آنالیز کردند [۱]. جاکوبسن در سال ۱۹۴۹ با فرض صلابت دیوار مخازن، با حل معادله لاپلاس و توزیع فشار هیدرودینامیکی مایع در مخازن و با اعمال شرایط مرزی مناسب، مسئله فشار دینامیکی مایع ناشی از مؤلفه افقی زلزله در مخازن استوانه‌ای را تحلیل نمود [۲]. هاونسر در سال ۱۹۵۷ و ۱۹۶۳ با استفاده از روشی ساده توزیع فشار هیدرودینامیکی مایع تحت اثر مؤلفه افقی زلزله در مخازن دارای دیواره‌ی صلب استوانه‌ای، دایره‌ای، سدها و دیواره‌ای حائل را برآورد نمود. [۳-۴].

هارون و هاوستن در سال‌های ۱۹۸۱ و ۱۹۸۲ بر پایه جمع آثار قوای مودهای ارتعاش آزاد جانبی، حاصل از تلفیق روش اجزای محدود و المان مرزی، برای تحلیل مخازن استوانه‌ای دارای دیوار تغییر شکل پذیر روشی ارائه نمودند و با مقایسه پاسخ مخازن دارای دیوار صلب و پاسخ مخازن دارای دیوار تغییر شکل پذیر، میزان تأثیر تغییر شکل پذیری دیوار بر پاسخ را مطالعه نمودند و مشخص کردند می‌توان از اثر انعطاف‌پذیری بدنه روی مود مواج نوسانات مایع صرف نظر کرد [۶-۵]. هارون در سال ۱۹۸۳ به روش آزمایشگاهی اندرکنش سیال-سازه و مشخصات دینامیکی سه مخزن واقعی (دو مخزن مهارشده و یک مخزن مهارنشده) را مطالعه نمود و با استفاده از روش تحلیلی با در نظر گرفتن تغییر شکل پذیری دیوار، برای طراحی مخازن روشن ارائه نمود [۷]. کلاف و همکاران از مدل‌های کوچک‌مقیاس، جهت برآورد آزمایشگاهی رفتار لرزه‌ای مخازن استوانه‌های مهارشده و مهار نشده استفاده نمودند. این تحقیقات آزمایشگاهی نیز مؤید وجود دو بخش مواج و سخت در مایع در خلال حرکت دینامیکی بود. همچنین تغییر مکان‌های اعوجاجی قابل توجه در مخازن مشاهده شد که به نقص‌های هندسی اولیه در مخازن نسبت داده شد. [۸].

هارون و الیسی در سال ۱۹۸۵ برای تحلیل مخازن استوانه‌ای انعطاف‌پذیر تحت اثر مؤلفه افقی زلزله و حرکت گهواره‌ای بستر صلب مخزن روشن تحلیلی ارائه نمودند [۹]. اورورک و سو بر اساس عملکرد مخازن در زلزله‌های گذشته نشان دادند که نسبت ارتفاع به قطر مخزن بر روی آسیب‌پذیری لرزه‌ای مخازن تأثیرگذار است. بر اساس نتایج این بررسی، منحنی‌های شکنندگی مخازن با نسبت ارتفاع کل به قطر مخزن برابر و کوچک‌تر از  $0.7$  و نسبت به مخازن با نسبت ارتفاع کل به قطر مخزن بزرگ‌تر از  $0.7$  با یکدیگر متفاوت است [۱۰]. این در حالی است که مالهوترا نسبت  $D/H = 0.5$  را به عنوان مرزی بین مخازن باریک و پهن معرفی می‌نماید [۱۱]. نکته‌ای که در مورد اغلب تحقیقات انجام شده بر روی مخازن مهار نشده محتوى مایع مطرح است این است که این تحقیقات عمدها بر اساس مدل‌های ساده‌شده و مبتنی بر روش‌های استاتیکی معادل و یا بر اساس مطالعات تجربی بر روی عملکرد واقعی مخازن در زلزله‌های گذشته می‌باشند. این در حالی است که مدل‌های ساده‌شده غالباً تقریبی هستند و قادر به نشان دادن رفتار واقعی سازه پیچیده‌ای نظیر مخزن در زمان زلزله نیستند [۱۲]. مطالعات تجربی نیز با توجه به محدود بودن تعداد مخازن قرار گرفته در معرض زلزله اغلب دارای عدم قطعیت‌های قابل توجهی می‌باشند و انجام مطالعات پارامتری بر روی این گونه داده‌ها عملأً امکان‌پذیر نیست [۱۳].

در این میان در مطالعات انجام شده با استفاده از مدل‌های دینامیکی دقیق‌تر نیز به دلیل وقت‌گیر بودن تحلیل‌ها و پیچیدگی مدل، یا رفتار مخزن تحت یک تحریک ورودی خاص مدنظر قرار گرفته [۱۴]. یا تنها بر روی یک پارامتر مطالعه نموده‌اند [۱۵]. ولتسوز و تانگ در سال ۱۹۸۷ پاسخ مخازن استوانه‌های با دیوار صلب و شکل پذیر را تحت اثر حرکت گهواره‌ای کف مخزن را مطالعه نمودند و رابطه میان پاسخ سیستم به حرکت گهواره‌ای کف و تحریک جانبی پایه را تشریح نمودند [۱۶]. ماهری و سورن در سال ۱۹۸۹، با آزمایش مخازن روی میز لرزان تأثیر تغییر شکل پذیری دیوار مخزن روی نیروهای هیدرودینامیکی مایع را بررسی نمودند. آزمایش‌ها روی دو مدل مخزن و در دو فاز انجام شد. در فاز اول اثرات سیال (در دو حالت مخزن پر و مخزن خالی) روی خصوصیات دینامیکی مخازن مورد بررسی قرار گرفت و در فاز دوم آزمایش‌ها ارتعاش اجباری بهمنظور بررسی نیروهای هیدرودینامیکی وارد بر پوسته مخازن انجام گرفت. نتایج حاصل از بررسی‌ها نشان داد که نیروهای هیدرودینامیکی برای مخازن انعطاف‌پذیر بسیار بزرگ‌تر از آنچه است که برای مخازن صلب به دست می‌آید [۱۷]. ملهوترا و ولتسوز در سال‌های ۱۹۹۴ و ۱۹۹۶ مقاومت در برابر بلندشدن گی تیر نیمه بی‌نهایت روی بستر صلب را تحلیل نمودند. تیر مورد بررسی تحت اثر بار گستردۀ یکنواخت قرار داشت و در تحلیل موردنظر تأثیر رفتار غیرخطی مصالح، اثرات غیرخطی هندسی و تأثیر سختی دیوار مخزن روی بلندشدن گی لحاظ گردید. تحلیل‌های انجام گرفته تأثیر نیروهای محوری ایجادشده در ورق کف مخزن در مکانیزم تحمل بار ورق کف را نشان داد [۱۸-۱۹]. ملهوترا و ولتسوز در سال ۱۹۹۴ تأثیر بلندشدن گی ورق کف مخزن بر پاسخ مخازن مهار نشده را مورد مطالعه قراردادند.

مشخص گردید که بلندشدگی ورق کف مخزن باعث کاهش فشار هیدرودینامیکی وارد بر دیوار مخزن می‌گردد [۲۰]. ملہوترا در سال‌های ۱۹۹۵ و ۱۹۹۷ با فرض امکان ایجاد مفصل پلاستیک تنها در لبهٔ ورق کف روابط حاکم بر بلندشدگی تیر با طول نیمه بینهایت و قرار گرفته روی بستر الستیک را توسعه دادند. همچنین با استفاده از آن بلندشدگی استاتیکی و دینامیکی مخزن قرار گرفته بر شالوده‌ی انعطاف‌پذیر را بررسی نمود [۲۱-۲۲]. یونان و ولتسوز در سال ۱۹۹۸ با استفاده از روشی ساده و تقریبی پاسخ مخازن استوانه‌ای صلب و دارای دیوار تغییر شکل‌پذیر محتوی مواد ویسکوالاستیک تحت اثر مؤلفه‌ی افقی زلزله را برآورد نمودند. [۲۳-۲۴]. در سال ۲۰۰۸ آهاری- عشقی و رزاقی- عشقی مطالعاتی در خصوص بلندشدگی مخازن استوانه‌ای مهارنشده فولادی تحت اثر زلزله انجام دادند [۲۵ و ۲۶].

مطابق مطالعات ادبیات فنی، بعضی از محققان تأثیر میزان ضخامت ورق کف در مخازن عریض در مقاومت در برابر بلندشدگی این مخازن را ناچیز شمرده‌اند. همچنین تعدادی از آن‌ها تأثیر افزایش ضخامت دیوار مخازن در برابر بلندشدگی را زیاد بر شمرده و آن را همسنگ افزایش ضخامت ورق کف دانسته‌اند. نکته‌ای که در مورد اغلب تحقیقات انجام شده بر روی مخازن مهار نشده محتوی مایع مطرح است این است که این تحقیقات عمدهاً بر اساس مدل‌های ساده‌شده و مبتنی بر روش‌های استاتیکی معادل و یا بر اساس مطالعات تجربی بر روی عملکرد واقعی مخازن در زلزله‌های گذشته است. این در حالی است که مدل‌های ساده‌شده غالباً تقریبی هستند؛ و قادر به نشان دادن رفتار واقعی سازه پیچیده‌ای نظری مخزن در زمان زلزله نیستند [۲۷]. مطالعات تجربی نیز با توجه به محدود بودن تعداد مخازن قرار گرفته در معرض زلزله اغلب دارای عدم قطعیت‌های قابل توجهی می‌باشند. و انجام مطالعات پارامتری بر روی این گونه داده‌ها عملاً امکان‌پذیر نیست [۲۸]. در این میان در مطالعات انجام شده با استفاده از مدل‌های دینامیکی دقیق‌تر نیز به دلیل وقت‌گیر بودن تحلیل‌ها و پیچیدگی مدل یا رفتار مخزن تحت یک تحريك ورودی خاص مدنظر قرار گرفته است [۲۹] و یا تنها بر روی یک پارامتر مطالعه نموده‌اند [۳۰].

ماهری و سورن در سال ۱۹۸۶، با آزمایش مخازن روی میز لرزان تأثیر تغییر ناهمگونی دیوار مخزن روی نیروهای هیدرودینامیکی مایع را بررسی نمودند. آن‌ها در ادامه تحقیقات خود، فرکانس‌های طبیعی و شکل مودهای متاظر آن را به دست آورده‌اند و در راستای مطالعات خود به این نتیجه رسیدند که عدم تقارن اولیه و غیریکنواخت بودن ضخامت در دیوار مخازن باعث می‌شود که مودهای جانی کوچک‌تر تحريك نشوند [۳۱]. واتاوالا و نش در سال ۱۹۸۳، با استفاده از تئوری تغییرشکل‌های بزرگ غیرخطی پوسته، اثرات نقایص هندسی اولیه (out of roundness) روی ارتعاشات پوسته‌های استوانه‌ای را بررسی نمودند [۳۲]. تاکاباتاکه و ماتسوکا در سال ۱۹۸۷، با در نظر گرفتن اعوجاج مقطع عرضی پوسته با استفاده از تئوری میله (rod theory) معادلات تغییر شکل پوسته‌های استوانه‌ای را ارائه نمودند. [۳۳]. زو و شینکه در سال ۱۹۸۵، اثر عدم تقارن و نقایص اولیه روی پاسخ لرزه ای مخازن استوانه‌ای را مورد مطالعه قراردادند. عدم تقارن اولیه باعث مشارکت مودهای محیطی بالاتر در فشار هیدرودینامیکی می‌گردد. با استفاده از معادلات لاغرانژ، فرکانس‌های طبیعی، اشکال مودی و فشار هیدرودینامیکی مخازن استوانه‌ای دارای عدم تقارن اولیه محاسبه گردید [۳۴].

نیوا در سال ۱۹۷۸، پس از آزمایش مخزن بلند روی میز لرزان مشخص نمود که علاوه بر پاسخ تیر مانند پوسته، تغییر شکل‌های اعوجاجی مقطع عرضی دیوار نیز پاسخ مخزن را تحت تأثیر قرار می‌دهند. همچنین روشی تحلیلی که رابطه میان نقایص هندسی اولیه پوسته و اعوجاج مقطع عرضی آن را مشخص می‌سازد، ارائه نمود. نتایج تحلیل‌ها مشخص نمود که تغییرات دینامیکی نیروهای حلقوی-محوری ایجادشده در جهت محیطی پوسته یکی از مهم‌ترین عوامل ایجاد تغییر شکل‌های اعوجاجی پوسته است [۳۵]. واتاوالا و نش (۱۹۸۳) با استفاده از تئوری تغییر شکل‌های بزرگ غیرخطی پوسته، اثرات نقایص هندسی اولیه بر روی ارتعاشات پوسته‌های استوانه‌ای را بررسی نمودند [۳۶].

زو و شینکه (۱۹۸۵) اثر عدم تقارن و نقایص اولیه بر روی پاسخ لرزه‌ای مخازن استوانه‌ای را موردمطالعه قراردادند. عدم تقارن اولیه باعث مشارکت مودهای محیطی بالاتر در فشار هیدرودینامیکی می‌گردد. با استفاده از معادلات لاگرانژ، فرکانس‌های طبیعی، اشکال مؤدی و فشار هیدرودینامیکی مخازن استوانه‌ای دارای عدم تقارن اولیه محاسبه گردید [۳۷]. دهقان منشادی و ماهری در سال ۲۰۱۰ با در نظر گرفتن سه مخزن با نسبت ارتفاع به قطر ۰/۶۳، ۰/۶۴ و ۰/۹۵ برای اولین بار اثرات خوردگی در دیواره مخزن را بر خصوصیات دینامیکی مخزن موردمطالعه قراردادند [۳۸]. در ادامه پژوهش قبلی، ماهری و عبدالله‌ی در سال ۲۰۱۲ اثرات پدیده درازمدت خوردگی را روی مقاومت کمانشی دیواره مخزن موردن بررسی قراردادند [۳۹]. وکیلی، مرتضی و حسین شوکتی (۱۳۹۴)، کمانش پوسته‌های استوانه‌های جدار نازک فولادی تحت بارگذاری فشار داخلی و نیروی محوری را موردن بررسی قراردادند [۴۰].

## ۲.۰.۲ روش تحقیق

در آنالیزهای موردنظر از نرم‌افزار المان محدود آباکوس (ABAQUS) بهمنظور شبیه‌سازی عددی استفاده شده است. در بخش صحت سنجی مدل از Abaqus/CAE جهت شبیه‌سازی و از Abaqus/Standard جهت آنالیز غیرخطی استفاده شده است. شبیه‌سازی رفتار مخزن فولادی در نرم‌افزار شامل تعریف هندسه مدل، ویژگی مصالح مصرفی، شرایط مرزی، نوع و سایز مش بندی است. در پایان پس از تکمیل مرحله پردازش مدل نتایج به صورت گرافیکی در مدول Visualization قابل مشاهده است. در این تحقیق از روش دینامیکی صریح برای اعمال بار زلزله به مخزن استفاده شده است. برای اطمینان از دقت و صحت پیش‌بینی مدل‌های ساخته شده توسط نرم‌افزار ذکر شده، از نتایج یک تحقیق آزمایشگاهی استفاده خواهد شد. مدل‌های مشابه نمونه آزمایش شده با ابعاد هندسی و مشخصات مصالح کاملاً یکسان ساخته شده و تحت بارگذاری مشابه آزمایش مدل تحلیل می‌گردد و نتایج آزمایش با پیش‌بینی‌های حاصل از تحلیل مدل‌ها مقایسه می‌شود و در صورت انطباق، می‌توان به نتایج حاصل از مدل‌سازی اجزای محدود اعتماد نمود.

## ۳.۰.۲ صحت سنجی مدل اجزای محدود

در گام اول برای اطمینان از دقت و صحت پیش‌بینی‌های مدل‌های اجزای محدود، مدل‌های ارائه شده در مراجع [۳۸] و [۳۶] با استفاده از نرم‌افزار آباکوس شبیه‌سازی شده و نتایج حاصله با نتایج مراجع ذکر شده مقایسه گردید.

### ۱.۳.۲ مقایسه نتایج با آزمایش‌های ماهری و سورن

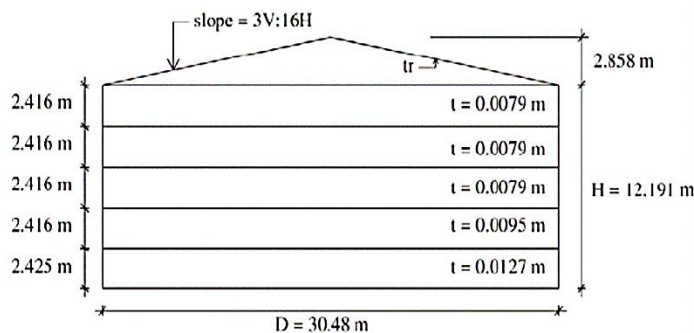
بهمنظور اطمینان از صحت مدل‌های ساخته شده مخزنی با ارتفاع ۰/۵ و شعاع ۰/۱۳ متر، مطابق آزمایش‌ها انجام شده توسط ماهری و سورن در نرم‌افزار آباکوس شبیه‌سازی شده و تحلیل مودال بر روی آن انجام گرفت. در جدول ۱ نتایج حاصله با یکدیگر مقایسه شده است که حکایت از انطباق نتایج دارد.

جدول ۱- مقایسه فرکانس‌های بدست آمده در آباکوس با نتایج مرجع [۱۳]

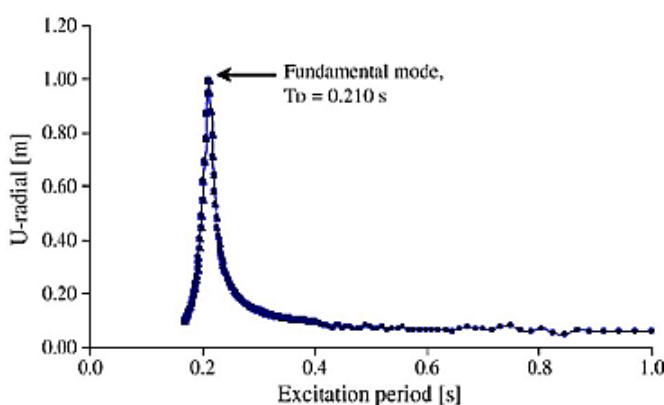
Mode	Frequency (Hz)		Error %
	Maheri	Present study	
1	172	174	1.16
4	324	311	4.01
5	854.6	804	5.92

## ۲.۰.۲ صحت سنجی با نتایج تحلیلی

در مرحله دوم بهمنظور بررسی صحت مدل‌های ساخته شده، مخزنی با نسبت ارتفاع به قطر ۰/۴۰ (شکل ۱) که توسط ویرلا در سال ۲۰۰۴ موردمطالعه قرار گرفته بود شبیه‌سازی شد و همانند ویرلا تحت تحلیل مودال و هارمونیک قرار داده شد و نتایج بهدست آمده موردن بررسی قرار گرفت.

شکل ۱- هندسه مخزن مرجع با نسبت‌های ارتفاع کل به قطر مخزن  $4/9138$  [۴]

شکل ۲ نتیجه کار انجام شده توسط ویرلا را نشان می‌دهد. فرکانس به دست آمده در نرم‌افزار آباکوس برابر  $4/9138$  هرتز و پریود ارتعاشی برابر  $20350.8$  ثانیه است. مقایسه نتایج به دست آمده با نتایج ویرلا و همکاران نشان می‌دهد که مدل اجزای محدود آباکوس دقیق نسبی در پیش‌بینی نتایج داشته است.

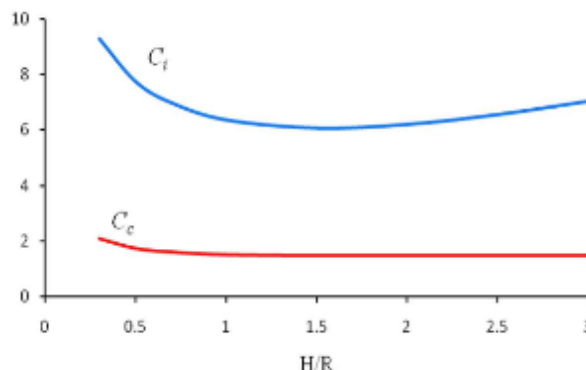
شکل ۲- مقایسه تغییرات جابجایی نسبت به زمان تناوب برای مخزن  $4/9138$  [۴]

### ۳.۳.۲. کنترل صحت مدل‌سازی بر اساس روابط ارائه شده توسط ولتسوز و همکاران

زمان تناوب طبیعی مودهای ضربه‌ای و مود گهواره‌ای بر اساس رابطه ارائه شده توسط ولتسوز که اساس روابط موجود در آئین نامه‌ها است، به صورت معادله ۱ محاسبه خواهد شد [آئین نامه API].

$$T_{imp} = C_i \times \frac{H\sqrt{\rho}}{\sqrt{t/r} \times \sqrt{E}} \quad (1)$$

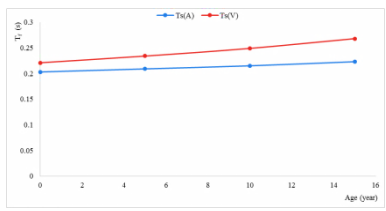
که در آن  $t$  ضخامت معادل دیواره مخزن،  $\rho$  جرم حجمی سیال،  $E$  مدول الاستیسیته مخزن،  $H$  ارتفاع سیال درون مخزن و  $r$  شعاع مخزن می‌باشد.  $C_i$  ضریب بدون بعدی است که بر اساس جدول ۲ یا **Error! Reference source not found.** به دست می‌آید:

شکل ۳-  $C_i$ - ضریب بدون بعد بر حسب  $H/R$

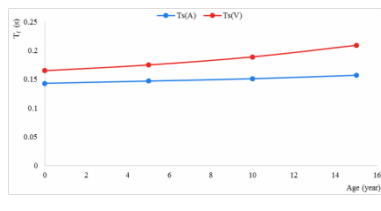
جدول ۲-۲ ضریب بدون بعد بر حسب  $H/R$ 

$H/r$	$C_I$	$m_r/m_L$	$m_c/m_L$
0.30	9.28	0.176	0.824
0.50	7.74	0.30	0.70
0.70	6.97	0.414	0.586
1.0	6.36	0.548	0.452
1.50	6.06	0.686	0.314
2.0	6.21	0.763	0.237
2.5	6.56	0.810	0.190
3.0	7.03	0.842	0.158

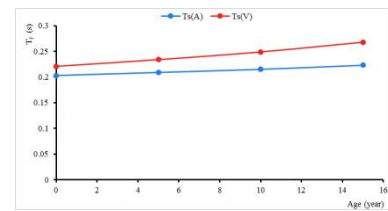
در شکل ۴، شکل ۵ و شکل ۶ مقایسه بین مقادیر محاسبه شده بر اساس فرمول ولتسوز و همکاران و نتایج شبیه سازی قابل مشاهده است. ملاحظه می شود که به خصوص در مورد مخازن با عمر کم، نتایج بدست آمده از رابطه و نتایج پیش بینی شده توسط مدل اجزای محدود بسیار نزدیک هستند. با بالاتر رفتن عمر مخزن میزان اختلاف بیشتر شده و در بیشترین میزان اختلاف به حدود ۱۵٪ رسیده است.



شکل ۶- مقایسه بین مقادیر محاسبه شده بر اساس فرمول ولتسوز و همکاران و نتایج شبیه سازی آپاکوس در مخزن B ( $HL/H=0.9$ )



شکل ۵- مقایسه بین مقادیر محاسبه شده بر اساس فرمول ولتسوز و همکاران و نتایج شبیه سازی آپاکوس در مخزن B ( $HL/H=0.6$ )

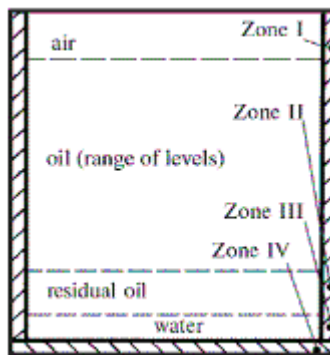


شکل ۴- مقایسه بین مقادیر محاسبه شده بر اساس فرمول ولتسوز و همکاران و نتایج شبیه سازی آپاکوس در مخزن A ( $HL/H=0.9$ )

۴.۳.۲. بروزی پدیده خوردگی و چگونگی در نظر گرفتن آن در مدل ها خوردگی در علم مهندسی یکی از مهم ترین مسائلی است که علاوه بر پدید آوردن مشکلات اقتصادی، زیست محیطی، فنی و ایمنی بخش قابل ملاحظه ای از تحقیقات و پژوهش های صنعتی را به خود اختصاص داده است. افزایش قیمت انرژی، نیروی انسانی، فشارها و دماهای بالا و محیط های خورنده تر و پیچیده تر در فرایندهای صنعتی باعث می شوند که زیان های اقتصادی ناشی از خوردگی در سال های آتی به طور تصاعدی افزایش یابد. اهمیت خوردگی در صنایع هنگامی بیشتر می شود که اثرات سو خوردگی به طور مستقیم امنیت کاربران را تهدید کند. در تأسیسات خدماتی نظیر خطوط انتقال و مخازن آب، خوردگی باعث کاهش عمر بهره برداری و صرف هزینه های سنگین نگهداری می شود. بر اساس تحقیقات صورت گرفته روی مخازن موجود در صنایع نفت و پتروشیمی نواحی از دیوار مخزن که تحت اثر پدیده خوردگی قرار گرفته و کاهش در ضخامت دیوار مخازن را به دنبال خواهد داشت را می توان به صورت زیر بیان کرد [۲۸-۲۹].

- کمریند پایینی و کف مخزن از داخل به سمت بیرون، جایی که آب های ناشی از ترکیبات و مشتقهای نفتی (Well Water) تهشین می شود. در این حالت میزان خوردگی دیوار مخزن بین  $0/0\text{~}0/4$  میلی متر در سال متغیر خواهد بود.
- کمریند بالایی مخزن، مرز بین مایعات هیدروکربن و بخارهای تشکیل شده در قسمت بالایی مخزن. در این حالت میزان خوردگی  $0/4$  میلی متر در سال خواهد بود.

شکل ۷ چگونگی در نظر گرفتن خوردگی روی دیواره مخازن را نشان می دهد.



شکل ۷- چگونگی در نظر گرفتن کاهش ضخامت دیوار مخازن در اثر خوردگی [۲۹-۲۸]

#### ۵.۳.۲ مشخصات هندسی مخازن مدل شده و شرایط مرزی و المان هایی مورد بررسی و نحوه مشبّه مدل ها

مخازن استفاده شده در این تحقیق همگی از نوع مخازن جدار نازک فولادی مهارنشده می باشند و مشابه مخازنی هستند که در مطالعات دهقان منشادی و ماهری [۳۸]، خصوصیات لرزه ای آنها مورد بررسی قرار گرفته است. درمجموع از سه نوع مخازن استفاده شده است که ابعاد این مخازن در جدول ۳ تا جدول ۵ ذکر شده و هندسه‌ی آنها در شکل ۸ قبل مشاهده است. مخازن با عمر ۱۰ و ۱۵ سال در نظر گرفته شده اند و سه زلزله به هر مدل اعمال شده است؛ بنابراین در مجموع ۶ مدل ساخته و تحلیل گردیده است. شایان ذکر است در تمامی موارد سطح سیال برابر ۹۰٪ ارتفاع مخزن در نظر گرفته شده است.

جدول ۳- مشخصات مخازن سالم

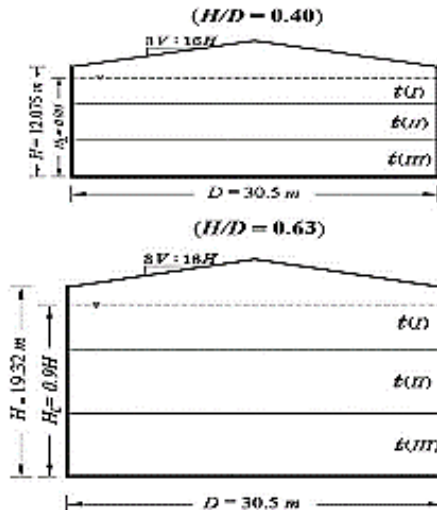
تیپ مخزن	$H/D$	شعاع (m)	ارتفاع کل (m)	ضخامت پوسته (mm)
A	0.4	0.9	12.075	10.2
B	0.63	0.9	19.32	16

جدول ۴- مشخصات مخازن با عمر ۱۰ سال

تیپ مخزن	$H/D$	شعاع (m)	ارتفاع کل (m)	ضخامت پوسته (mm)
A	0.4	0.9	12.075	6.8
B	0.63	0.9	19.32	12.6

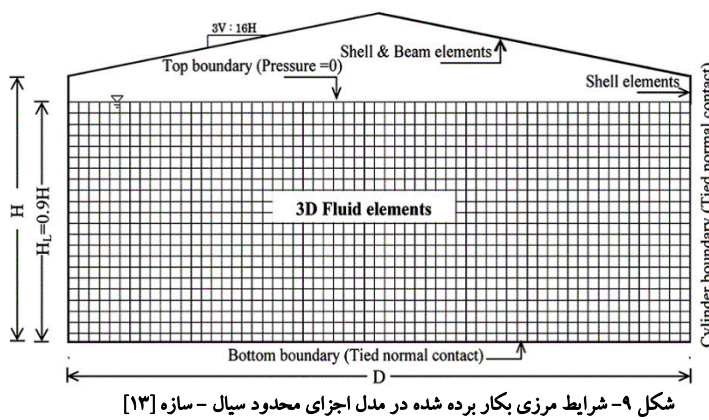
جدول ۵- مشخصات مخازن با عمر مفید ۱۵ سال

تیپ مخزن	$H/D$	شعاع (m)	ارتفاع کل (m)	ضخامت پوسته (mm)
A	0.4	0.9	12.075	5.1
B	0.63	0.9	19.32	10.9



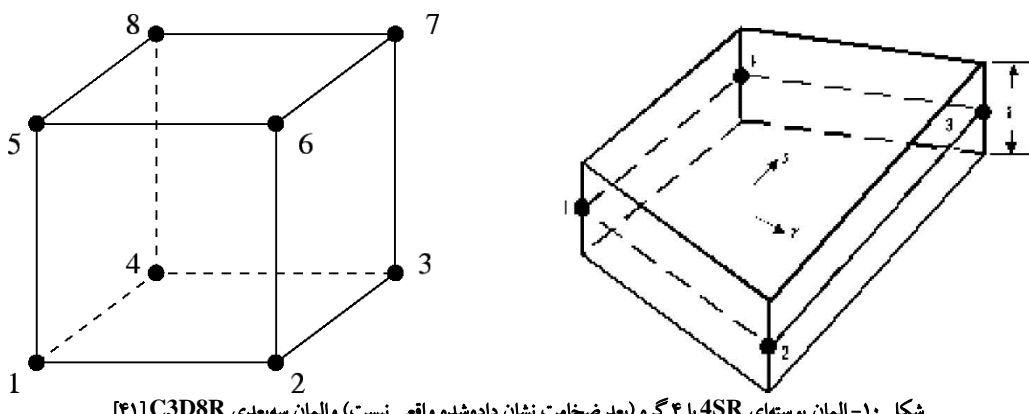
شکل ۸- مشخصات هندسی مخازن مدل شده A و B و C

در سازه مخازن واقعی، برای اتصال ستون‌ها به کف مخزن از فونداسیون بتنی و یا ضخیم نمودن ورق کف مخزن استفاده می‌شود. در مخزن نشان داده شده در شکل ۸ محل اتصال ستون فونداسیون نشان داده نشده است، بنابراین به‌منظور گسترش تنش وارده در محل اتصال از روش ضخیم نمودن صفحه کف استفاده شده است اما در این مطالعه از آنجاکه مخازن مهارشده فرض شده‌اند، از مدل‌سازی کف مخزن چشم‌پوشی شده است. عناصر سیال در مرز بین دیوار مخزن و سیال تنها اجازه‌ی حرکت در جهت عمود بر دیواره مخزن را دارند؛ بنابراین لازم است در روند مدل‌سازی گره‌های مشترک سیال و پوسته در مرز دیوار مخزن و سیال در جهت عمود بر دیوار مخزن به یکدیگر وصل شوند. در این مطالعه گره‌های مشترک سیال و سازه که روی هم قرار دارند در جهت شعاعی به یکدیگر وصل شوند. در ضمن مش بندی سیال و سازه به گونه‌ای انجام شد که گره‌های سیال و سازه در مرز دیوار مخزن، بر هم منطبق شوند (شکل ۹). در این تحقیق فرض شده که هر مخزن در سه حالت ارتفاع سیال از نفت خام به چگالی  $860$  کیلوگرم بر مترمکعب و مدول حجمی  $1/65$  گیگا پاسکال پوشیده است.



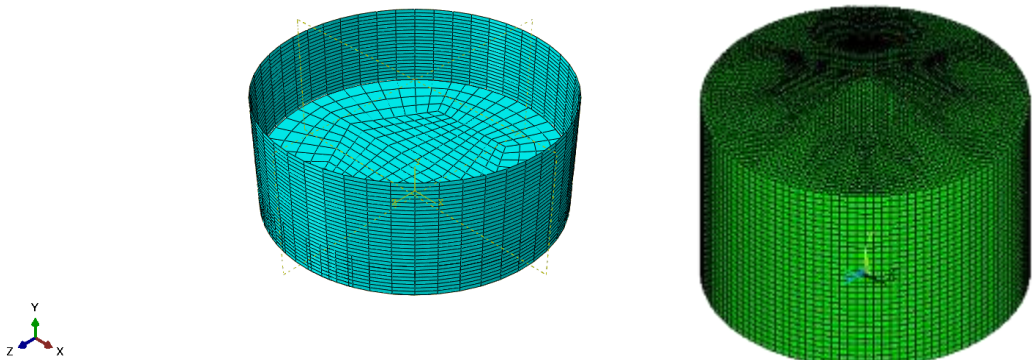
شکل ۹- شرایط مرزی بکار برده شده در مدل اجزای محدود سیال - سازه [۱۳]

المان استفاده شده برای مدل‌سازی جدار مخزن المان 4SR است. این المان دارای ۴ گره است و برای مدل کردن رفار پوسته‌ها به کار می‌رود. هر یک از گره‌های این المان دارای ۶ درجه آزادی است که عبارت‌اند از سه درجه آزادی انتقالی و سه درجه آزادی دورانی. برای مدل‌سازی سیال از المان سه‌بعدی (Solid) باتام C3D8R استفاده شده است. این المان دارای ۸ گره است (شکل ۱۰).



شکل ۱۰- المان پوسته‌ای 4SR با ۴ گره (بعد ضخامت نشان داده شده واقعی نیست) والمان سه‌بعدی R [۴۱] C3D8R

نمونه یکی از مدل‌های مش بندی در شکل ۱۱ قابل مشاهده است.



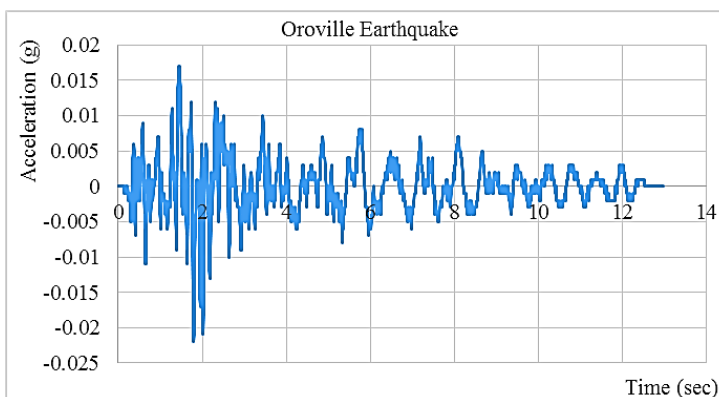
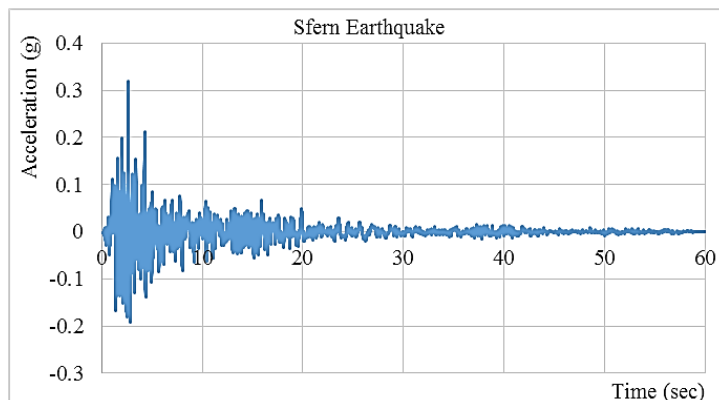
شکل ۱۱- نمونه مدل مشن بندی شده مخزن  $B$  ( $H/D = 0.63$ ) - مدل مشن بندی شده ی مخزن  $B$  (سمت چپ) و مدل مشن بندی شده سیال (سمت راست)

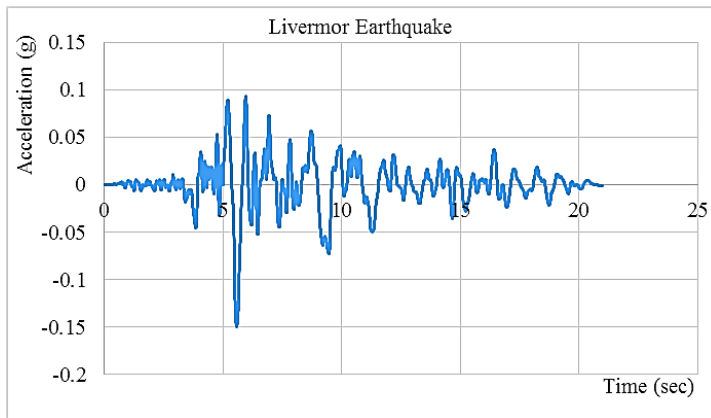
مشخصات مصالح فولاد و سیال به شرح جدول ۶ به نرم افزار معرفی شده است.

جدول ۶- مشخصات مصالح

2E11 N/m <sup>2</sup>	مadol الاستیسیته فولاد
7850Kg/m <sup>3</sup>	جرم حجمی فولاد
0.3	ضریب پواسون فولاد
1.65E9 N/m <sup>2</sup>	مدول بالک سیال (Crude oil)
860 Kg/m <sup>3</sup>	جرم حجمی سیال (Crude oil)

در این مطالعه هدف بررسی پاسخ سازه به بارگذاری دینامیکی تاریخچه زمانی رکورد سه زلزله متفاوت تحت اثر پدیده خورده‌گی است. رکوردهای مورداستفاده عبارت‌اند از زلزله‌های لیور، ارویل و اسفرن. رکورد این سه زلزله در شکل ۱۲ قابل مشاهده است.





شکل ۱۲- رکورد زلزله‌های مورداستفاده در تحقیق

### ۳. نتایج و بحث

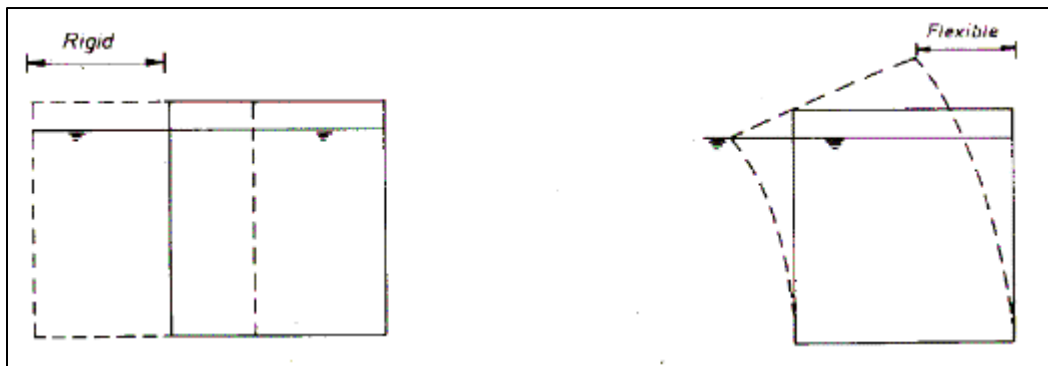
نام‌گذاری مدل‌ها بر حسب نوع مخزن (A، B) و عمر مخزن (0y، 10y، 15y) انجام شده است. در ادامه نتایج حاصل از مدل‌سازی‌ها بیان خواهد شد. بدین منظور نحوه تغییرات و توزیع فشار هیدرودینامیکی، تاریخچه زمانی جابجایی، برش پایه و لنگر پای مخزن تحت اثر رکوردهای زلزله یادشده همزمان با پدیده خوردگی مورد بررسی قرار می‌گیرد. نتایج در سه بخش برای مخازن کوتاه A (H/D=0.63)، متوسط B (H/D=0.4) ارائه می‌گردد. شایان ذکر است در تمامی موارد سطح سیال برابر ۹۰٪ ارتفاع مخزن در نظر گرفته شده است.

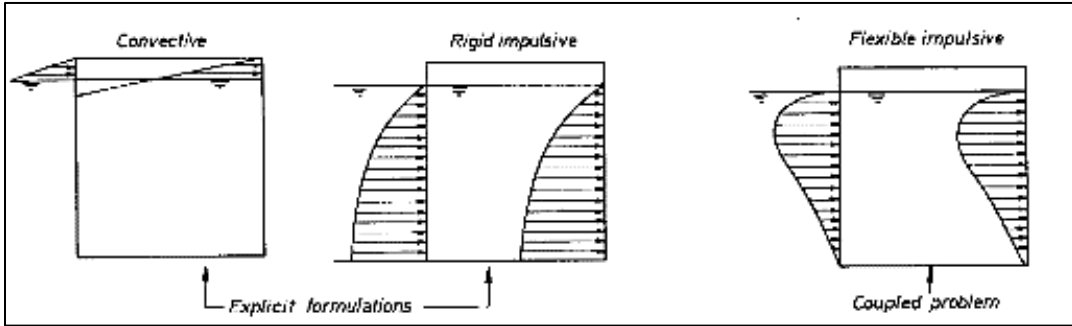
#### ۱.۱.۳. مخازن کوتاه A (H/D=0.40)

در این بخش به بررسی مخازن کوتاه تحت تأثیر همزمان پدیده خوردگی و زلزله می‌پردازیم. در گام اول نحوه توزیع تغییرات فشار هیدرودینامیکی مورد بررسی قرار می‌گیرد.

#### ۱.۱.۳. نحوه توزیع تغییرات فشار هیدرودینامیکی

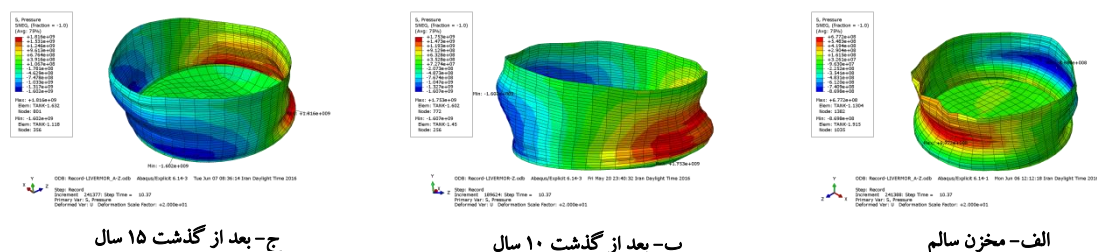
زمانی که پایه‌ی یک مخزن مایع تحت اثر لرزش زمین قرار می‌گیرد، فشار مایع نسبت به حالت تعادل استاتیکی دچار تغییر می‌شود. در حالتی که مخزن تحت اثر شتاب افقی قرار دارد و سطح مایع داخل آن آزاد است، قسمتی از مایع در طول دیوار و کف مانند یک جسم صلب هماهنگ با مخزن حرکت می‌کند، درحالی که قسمت باقی‌مانده مایع حول محور افقی عمود بر جهت تحریکات زلزله به صورت گهواره‌ای نوسان کرده و یا به عبارت دیگر دچار پدیده امواج سطحی می‌شود. قسمتی از جرم مایع که هماهنگ با دیوار مخزن حرکت می‌کند به جزء ضربه‌ای (Impulsive) و قسمتی که دارای حرکت گهواره‌ای است به جزء انتقالی (Convective) مشهور است. جزء ضربه‌ای را می‌توان به دو بخش عملکرد صلب (Rigid impulsive) و انعطاف‌پذیر (Flexible impulsive) تقسیم‌بندی کرد (شکل ۱۳).



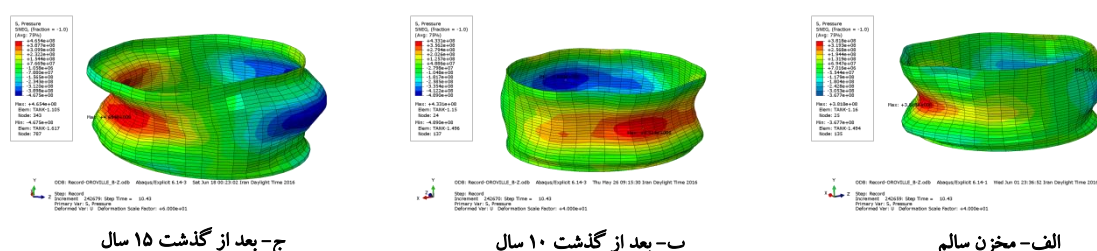


شکل ۱۳- توزیع فشار هیدرودینامیکی در سازه‌های استوانه‌ای

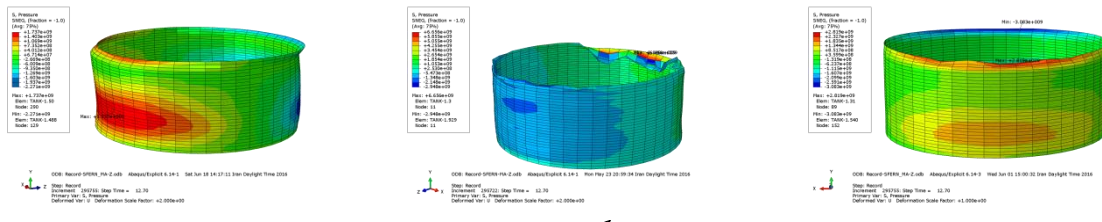
بخشی از جرم مایع که در هر یک از این دو نوع کنش شرکت می‌کند به هندسه و ابعاد مخزن بستگی دارد. در مخازن استوانه‌ای عمودی بلند، جزء ضربه‌ای عموماً بزرگ‌تر از دو برابر جزء انتقالی و در مخازن عریض جزء انتقالی معمولاً بزرگ‌تر است. فشارهای هیدرودینامیکی ناشی از این دو نوع حرکت دارای توزیع متفاوتی در ارتفاع مخزن بوده و تغییراتشان نسبت به زمان با یکدیگر متفاوت است. فشارهای ناشی از جزء ضربه‌ای دارای نوسان‌های با فرکانس بالا است درحالی که فشار ناشی از جزء انتقالی که در سطح مایع حداکثر بوده دارای نوسانات با فرکانس پایین است. برای مخازن عریض با نسبت  $H/R = 1.5$  سهم مؤلفه‌ی ضربه‌ای مایع در جواب قابل صرف‌نظر است و سیستم مخزن-مایع را می‌توان به عنوان یک سیستم یک درجه آزادی با شرایط تکیه‌گاهی ثابت در پایه در نظر گرفت. فشار هیدرودینامیکی باعث ایجاد لنگر واژگونی در پای مخزن می‌گردد. در مخازن مهارشده نیروی کششی ناشی از لنگر واژگونی از طریق میله مهارها به پی منتقل می‌گردد. لیکن در مخازن مهار نشده در صورتی که کشش قائم ایجاد شده در دیوار از فشار قائم ناشی از وزن دیوار و سقف مخزن (در صورت وجود) تجاوز نماید، دیوار مخزن دچار بلندشدگی می‌گردد. مخازن مهار نشده به این علت مستعد بلندشدگی هستند که تمامی وزن مخزن و مایع داخل آن در لنگر واژگونی شرکت می‌نماید در صورتی که تنها وزن مخزن و وزنی از مایع که بر روی قسمت بلند شده‌ی ورق کف مخزن قرار دارد به عنوان لنگر مقاوم عمل می‌نمایند. در مطالعات اولیه، پاسخ لرزه‌ای مخازن بر اساس صلب بودن دیواره‌ی مخزن و یک سیستم کاملاً مهارشده مورد بررسی قرار می‌گرفت، اما در مطالعات بعدی انعطاف‌پذیری دیواره‌ی مخزن در تحلیل‌ها در نظر گرفته شد و اهمیت آن بر روی پاسخ لرزه‌ای به اثبات رسید. شکل ۱۴، ۱۵ و شکل ۱۶ نحوه تغییرات توزیع فشار هیدرودینامیکی را در انتهای رکورد زلزله نشان می‌دهد.



شکل ۱۴- توزیع فشار هیدرودینامیکی در مخزن A (H/D=0.40) (در انتهای رکورد Liver)



شکل ۱۵- توزیع فشار هیدرودینامیکی در مخزن A (H/D=0.40) (در انتهای رکورد اروبل)

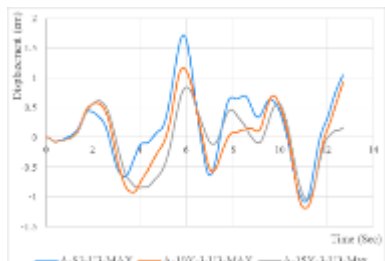


شکل ۱۶- توزیع فشار هیدرودینامیکی در مخزن A ( $H/D=0.40$ ) در انتهای رکورد اسپرن

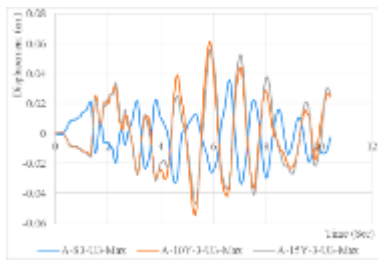
شکل ۱۴، شکل ۱۵ و شکل ۱۶ نشان می‌دهد، در اثر گذشت زمان و پیدایش پدیده خوردگی بیشینه فشار هیدرودینامیکی تحت یک زلزله خاص افزایش می‌یابد. اثر زلزله به صورت یک بار رفت و برگشتی بوده که در مدت زمان کوتاهی بر سازه وارد می‌شود و مقدار آن با گذشت زمان نوسان زیادی دارد، این موضوع یعنی بار زلزله یک بار دینامیکی محسوب می‌شود. دستگاههای شتاب نگار می‌توانند در هنگام وقوع یک زلزله، شتاب حرکت زمین را بصورت تابعی از زمان و در طول وقوع زلزله ثبت کنند. در روش تحلیل تاریخچه زمانی با توجه به اینکه در لحظه به لحظه اعمال شتاب نگاشت، پاسخ‌های سازه (نظیر شتاب، سرعت، تغییر مکان و نیرو) را به دست می‌آوریم، عملاً می‌توانیم در کمترین مدت مناسبی از رفتار سازه در هنگام رخداد زلزله داشته باشیم و در نهایت از نتایج آن برای طراحی سازه استفاده کنیم [۴۲].

#### ۲.۰.۳. برسی تاریخچه زمانی جابجایی در مخزن A ( $H/D=0.40$ )

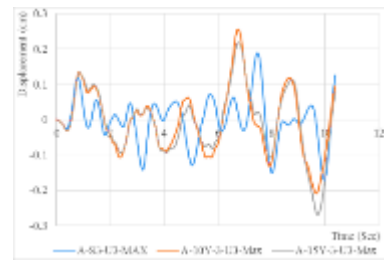
در این بخش به مقایسه تاریخچه زمانی جابجایی تحت اثر پدیده خوردگی ناشی از زلزله‌های یادشده می‌پردازیم. قابل توجه است که جابجایی ثبت شده برای تمامی حالات مربوط به یک گره خاص در بالاترین تراز مخزن است.



شکل ۱۷- تاریخچه زمانی جابجایی در بالاترین قسمت مخزن در تانک A ( $H/D=0.40$ ) تحت زلزله اسپرن



شکل ۱۸- تاریخچه زمانی جابجایی در بالاترین قسمت مخزن در تانک A ( $H/D=0.40$ ) تحت زلزله ایورمور

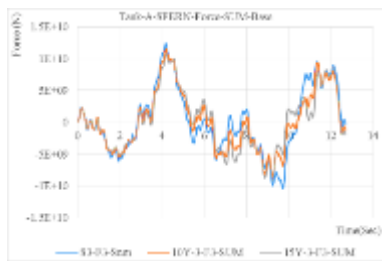


شکل ۱۹- تاریخچه زمانی جابجایی در بالاترین قسمت مخزن در تانک A ( $H/D=0.40$ ) تحت زلزله اسپرن

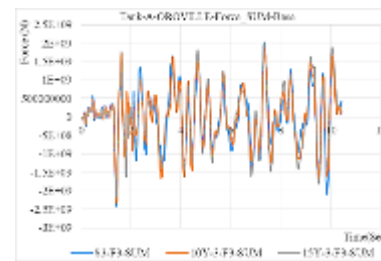
همان‌طور که مشاهده می‌شود، با افزایش عمر سازه، میزان تغییر مکان حداقل سازه افزایش یافته است. به‌طوری که تحت زلزله ایورمور حداقل تغییر مکان برای مخزن سالم،  $15/9$  میلی‌متر، برای مخزن  $10$  ساله  $25$  میلی‌متر و برای مخزن  $15$  ساله برابر  $26/1$  میلی‌متر است. همان‌طور که برای زلزله اوروپل مشاهده می‌شود، با افزایش عمر سازه، میزان تغییر مکان حداقل سازه افزایش یافته است. به‌طوری که حداقل تغییر مکان برای مخزن سالم،  $3/3$  میلی‌متر، برای مخزن  $10$  ساله  $5/2$  میلی‌متر و برای مخزن  $15$  ساله برابر  $5/3$  میلی‌متر است. در زلزله اسپرن تغییر مکان مخزن صفر ساله بیشتر از تغییر مکان دو مخزن دیگر است که دلیل آن را می‌توان به وزن بیشتر مخزن صفر ساله به دلیل ضخامت بیشتر جدار آن نسبت داد. به‌طوری که حداقل تغییر مکان برای مخزن  $0$  ساله،  $1/53$  سانتی‌متر، برای مخزن  $10$  ساله  $1/176$  سانتی‌متر و برای مخزن  $15$  ساله برابر  $1/036$  سانتی‌متر است.

#### ۳.۰.۳. برسی تاریخچه زمانی برش پایه در مخزن A ( $H/D=0.40$ )

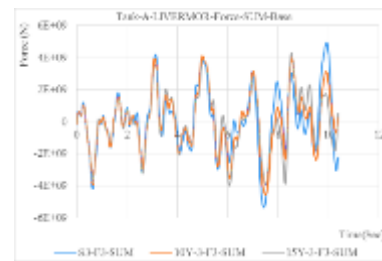
در این بخش به مقایسه تاریخچه زمانی برش پایه تحت اثر پدیده خوردگی ناشی از زلزله‌های یادشده می‌پردازیم.



شکل ۲۲- تاریخچه زمانی برش پایه مخزن A تحت زلزله اسفنر H/D=0.40



شکل ۲۱- تاریخچه زمانی برش پایه مخزن A تحت زلزله اوروپول H/D=0.40A

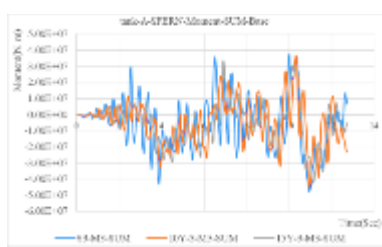


شکل ۲۰- تاریخچه زمانی برش پایه مخزن A تحت زلزله لیورمور H/D=0.40

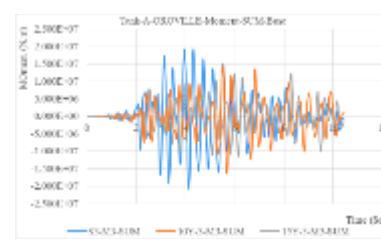
همان‌طور که ملاحظه می‌شود، برشی پایه مخازن در طول اعمال رکورد با تغییر عمر مخزن تغییر قابل ملاحظه‌ای نداشته است.

#### ۴.۱.۳. برسی تاریخچه زمانی لنگر پایی مخزن در مخزن A (H/D=0.40)

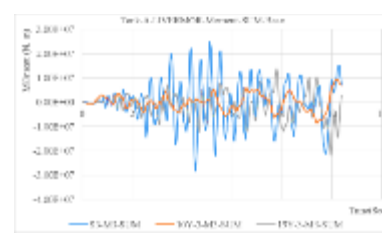
در این بخش به مقایسه لنگر پایی مخزن تحت اثر پدیده خوردگی ناشی از زلزله‌های یادشده می‌پردازیم.



شکل ۲۵- تاریخچه زمانی لنگر پایی مخزن A تحت زلزله اسفنر H/D=0.40



شکل ۲۴- تاریخچه زمانی لنگر پایی مخزن A تحت زلزله اوروپول H/D=0.40A



شکل ۲۳- تاریخچه زمانی لنگر پایی مخزن A تحت زلزله لیورمور H/D=0.40A

همان‌طور که مشاهده می‌شود در دو رکورد اول بیشترین میزان لنگر اعمال شده مربوط به مخزن سالم و در رکورد اسفنر میزان لنگر وارد شده به هر سه مخزن تقریباً برابر است.

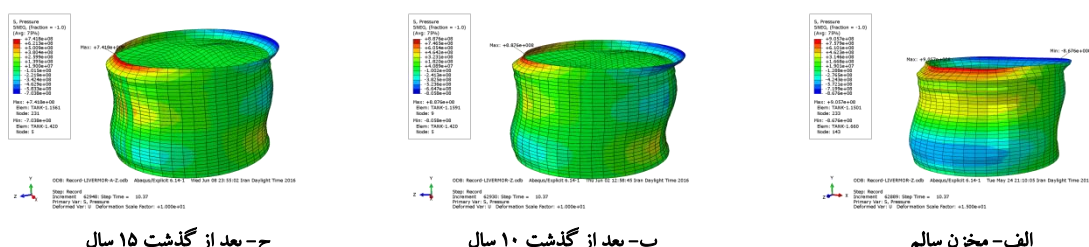
#### ۴.۲.۳. مخازن متوسط (H/D=0.63)

در این بخش به بررسی مخازن متوسط تحت تأثیر همزمان پدیده خوردگی و زلزله می‌پردازیم. در گام اول نحوه توزیع تغییرات فشار هیدرودینامیکی مورد بررسی قرار می‌گیرد.

#### ۴.۲.۳.۱. نحوه توزیع تغییرات فشار هیدرودینامیکی در مخزن متوسط B (H/D=0.63)

در شکل ۲۶

شکل ۲۷ و شکل ۲۸ توزیع فشار وارد به مخزن از جانب سیال قابل مشاهده است.

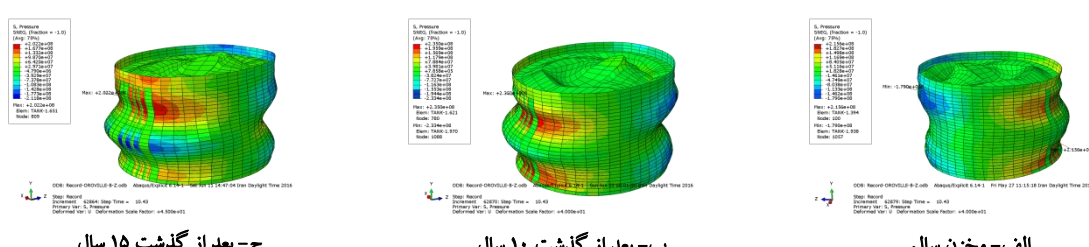


ج- بعد از گذشت ۱۵ سال

ب- بعد از گذشت ۱۰ سال

الف- مخزن سالم

شکل ۲۶- توزیع فشار هیدرودینامیکی در مخزن متوسط B (H/D=0.63) در انتهای رکورد Liver

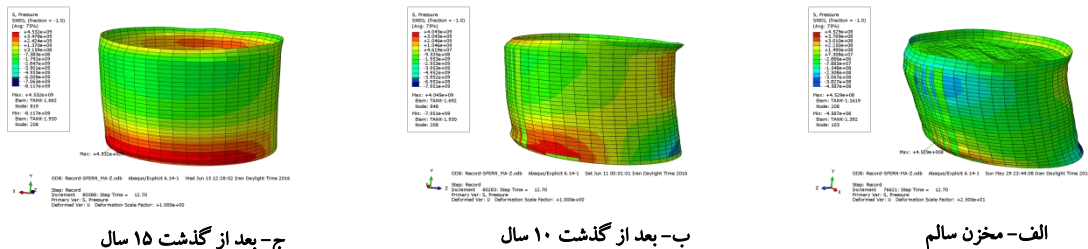


ج- بعد از گذشت ۱۵ سال

ب- بعد از گذشت ۱۰ سال

الف- مخزن سالم

شکل ۲۷- توزیع فشار هیدرودینامیکی در مخزن متوسط B (H/D=0.63) در انتهای رکورد ارویل



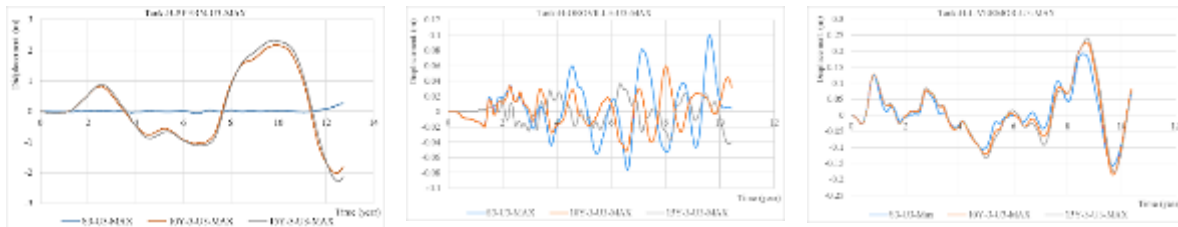
شکل ۲۸- توزیع فشار هیدرودینامیکی در مخزن متوسط B (H/D=0.63) در انتهای رکورد اسپرن

مقایسه شکل ۲۶

شکل ۲۷ و شکل ۲۸ نشان می‌دهد، در اثر گذشت زمان و پیدایش پدیده خوردگی بیشینه فشار هیدرودینامیکی تحت یک زلزله خاص افزایش می‌یابد.

#### ۲.۷.۳. برسی تاریخچه زمانی جابجایی در مخزن متوسط B (H/D=0.63)

در این بخش به مقایسه تاریخچه زمانی جابجایی تحت اثر پدیده خوردگی ناشی از زلزله‌های یادشده می‌پردازیم. قابل توجه است که جابجایی ثبت شده برای تمامی حالات مربوط به یک گره خاص در بالاترین تراز مخزن است.



شکل ۲۹-۱- تاریخچه زمانی جابجایی در بالاترین قسم مخزن در تانک B (H/D=0.63) تحت زلزله اوروبول زلزله اسپرن

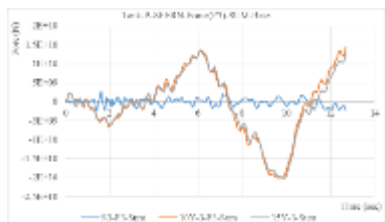
شکل ۲۹-۲- تاریخچه زمانی جابجایی در بالاترین قسم مخزن در تانک B (H/D=0.63) تحت زلزله اوروبول (H/D=0.63)

شکل ۲۹-۳- تاریخچه زمانی جابجایی در بالاترین قسم مخزن در تانک B (H/D=0.63) تحت زلزله لیورمور

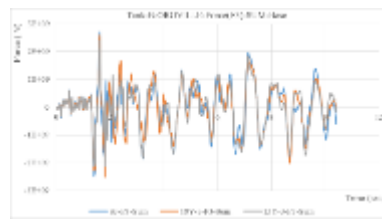
در زلزله اول با افزایش عمر سازه، میزان تغییر مکان حداقل سازه افزایش یافته است. به طوری که حداقل تغییر مکان برای مخزن صفر ساله، ۲۰ سانتی‌متر، برای مخزن ۱۰ ساله ۲۱ سانتی‌متر و برای مخزن ۱۵ ساله برابر ۲۳ سانتی‌متر است. در زلزله دوم مخزن با عمر صفر سال در این زلزله بیشترین جابجایی را داشته است که دلیل آن را می‌توان به وزن بیشتر مخزن صفر ساله به دلیل ضخامت بیشتر جدار آن نسبت داد. به طوری که حداقل تغییر مکان برای مخزن صفر ساله، ۹۷ میلی‌متر، برای مخزن ۱۰ ساله ۵۱ میلی‌متر و برای مخزن ۱۵ ساله برابر ۴۳ میلی‌متر است. در زلزله سوم میزان تغییر مکان حداقل سازه افزایش یافته است. به نظر می‌رسد در مخازن ۱۰ و ۱۵ ساله با توجه به تغییر مکان بالای ایجاد شده گسیختگی به وجود آمده باشد. به طوری که حداقل تغییر مکان برای مخزن سالمند، ۲۴ میلی‌متر، برای مخزن ۱۰ ساله ۲۲/۸ میلی‌متر و برای مخزن ۱۵ ساله برابر ۲۳ میلی‌متر است.

#### ۳.۷.۳. برسی تاریخچه زمانی برش پایه در مخزن متوسط B (H/D=0.63)

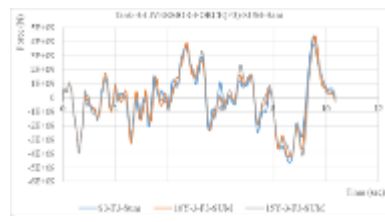
در این بخش به مقایسه تاریخچه زمانی برش پایه تحت اثر پدیده خوردگی ناشی از زلزله‌های یادشده می‌پردازیم.



شکل ۳۴- تاریخچه زمانی برش پایه مخزن B تحت زلزله اسفرن H/D=0.63



شکل ۳۵- تاریخچه زمانی برش پایه مخزن B تحت زلزله اورولی H/D=0.63

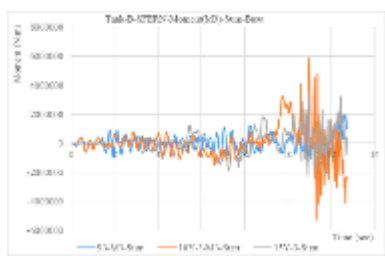


شکل ۳۶- تاریخچه زمانی برش پایه مخزن B تحت زلزله لیورمور H/D=0.63

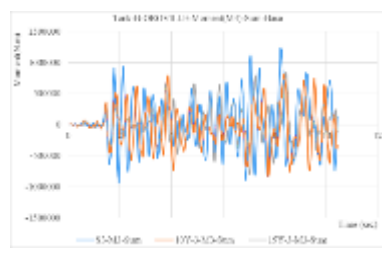
همان‌طور که ملاحظه می‌شود، برش پایه مخازن در طول اعمال رکورد با تغییر عمر مخزن تغییر قابل ملاحظه‌ای نداشته است. در مورد زلزله اسفرن به دلیل اینکه در مخزن با عمر ۱۰ و ۱۵ سال، خرابی اتفاق افتاده برش پایه تغییرات قابل توجهی داشته است.

#### ۴.۲.۳. برسی تاریخچه زمانی لنگر پای مخزن متوسط B (H/D=0.63)

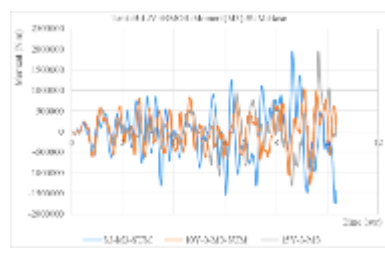
در این بخش به مقایسه لنگر پای مخزن تحت اثر پدیده خوردگی ناشی از زلزله‌های یادشده می‌پردازیم.



شکل ۳۷- تاریخچه زمانی لنگر پای مخزن B تحت زلزله اسفرن H/D=0.63



شکل ۳۸- تاریخچه زمانی لنگر پای مخزن B تحت زلزله اورولی H/D=0.63



شکل ۳۹- تاریخچه زمانی لنگر پای مخزن B تحت زلزله لیورمور H/D=0.63

همان‌طور که مشاهده می‌شود در دو رکورد اول بیشترین میزان لنگر اعمال شده مربوط به مخزن سالم و در رکورد اسفرن میزان لنگر واردشده به مخازن ۱۰ و ۱۵ ساله به طور قابل ملاحظه‌ای بیشتر است.

### ۴. نتیجه‌گیری

با توجه به خروجی‌های دریافت شده از نرم‌افزار و مقایسه آن‌ها نتایج زیر قابل بیان است:

- شیوه‌سازی مخازن و پیش‌بینی رفتار آن‌ها با استفاده از روش اجزای محدود با دقت مناسبی قابل انجام است و با توجه به ابعاد سازه‌ایی مانند مخازن استفاده از این روش بسیار کارا و کم‌هزینه است.
- مخازن ذخیره سیالات تحت بارگذاری زلزله به دلیل ضخامت کم جداره و وزن بالای سیال دچار تغییرشکل‌های نسبتاً بزرگی می‌شوند که می‌تواند در قالب کمانش‌های محلی یا تغییر شکل کلی مخزن و خرابی آن گردد.
- در اغلب نمونه‌ها بخش نزدیک به تکیه‌گاه مخازن دچار تغییر شکل بالایی گردیده است و لازم است این ناحیه از مخزن تقویت گردد که برای مثال می‌توان از ساخت کننده‌ها در این ناحیه استفاده نمود.
- با بررسی رفتار مخازن مشابه که عمر متفاوت و درنتیجه ضخامت جدار متفاوت ناشی از خوردگی داشته است، در اکثر نمونه‌ها مخزن با عمر بالاتر دچار تغییرشکل‌های بزرگ‌تر شده است که میزان اختلاف تغییرشکل‌ها در برخی نمونه‌ها قابل توجه بوده است.
- میزان برش پایه در زمان اعمال شتاب زلزله به سازه تفاوت محسوسی در نمونه‌های مشابه با عمر متفاوت نداشته است و تاریخچه برش تکیه‌گاهی سازه‌ها با عمرهای متفاوت با تقریب‌اندکی بر هم منطبق بوده است.
- میزان لنگر واژگونی وارد بر نمونه‌ها با تغییر عمر سازه تغییرات قابل ملاحظه داشته است و ملاحظه شد که بیشترین لنگر واژگونی به مخزن سالم است.

- ۷- در مخزن متوسط  $H/D = 0.63$  B در برخی نمونه‌ها خرابی مخزن مشاهده گردید و این مخازن با حجم سیال بالای موجود در آن‌ها در برابر زلزله آسیب پذیر بوده و تغییرشکل‌های بزرگی در آن‌ها مشاهده گردیده است.
- ۸- میزان بیشینه فشار هیدرودینامیکی در اثر پیدایش پدیده خوردگی تحت اثر یک زلزله خاص افزایش می‌یابد.

## ۵. مراجع

1. Hoskinns L. M, and Jacobsen L. S, (1934). Water Pressure in a Tank Caused by a Simulated Earthquake. *Bull Seism Soc Am, Vol. 24*.
2. Jacobsen L. S, (1949). Impulsive hydrodynamics of fluid inside a cylindrical tank and of a fluid surrounding a cylindrical pier. *Bull Seism Soc Am, Vol. 39*.
3. Housner G. W, (1957). Dynamic pressure on accelerated fluid containers. *Bull Seism Soc Am, Vol. 47*. pp. 15-35.
4. Housner G. W, (1963). The dynamic behavior of water tanks. *Bulletin of the Seismological Society of America, 53* (2), 381-9.
5. Haroun M. A, and Housner G. W, (Apr 1981). Seismic design of liquid storage tank. *Journal of the Technical Councils, ASCE, Vol. 107*. TC1, pp. 191-207.
6. Haroun M. A, and Housner G. W, (Oct 1982). Dynamic characteristics of liquid storage tanks. *Journal of the Engineering Mechanics Division, ASCE, Vol. 108*. EM 5, pp. 783-800.
7. Haroun M. A, (Mar, Apr 1983). Vibration studies and tests of liquid storage tanks. *Earthquake Engineering & Structural Dynamics, Vol. 11*. pp. 179-206.
8. Clough R. W, Niwa A, and Clough D. P, (1979). Experimental Seismic Study of Cylindrical Tanks. *Journal STR Div, 7 (ST 12)*, 2565-2590.
9. Haroun M. A, Ellaithy H. M, (1985). Model for flexible tanks undergoing rocking. *Journal of Engineering Mechanics, 111* (2), 143-57.
10. O. Rourke M, and So P, (2000). Seismic Fragility Curves for On-Grade Steel Tanks. *Earthquake Spectra, 16* (4).
11. Malhotra P, (2000). Practical Nonlinear Seismic Analysis of Tanks. *Earthquake Spectra, 473-492*.
12. Nachtigal I, Gebbeken N, and Urrutia Galicia J, (2003). On the Analysis of Vertical Cylindrical Tanks under Earthquake Excitation at Base. *Journal Engineering Structures, 25*, 201-213.
13. ASCE (2001). Seismic Fragility Formulations for Water Systems. Part 1, *Guidelines American Lifeline Alliances, USA*.
14. Barton D. C, and Parker J. V, (1987). Finite Element Analysis of the Seismic Response of Anchored and Un-Anchored Liquid Storage Tanks. *Journal Earthquake Engineering, and STR Dyn, 15*, 299-322.
15. Mezaini N, (2006). Effects of Soil-Structure Interaction on Analysis of Cylindrical Tanks. *Journal Practice Periodical on Str. Design, and Const ASCE, 11* (1), 50-57.
16. Veletsos A. S, and Tang Y, (Nov 1987). Rocking response of liquid storage tanks. *Journal of Engineering Mechanics, Vol. 113*, No. 11. pp. 1774-I792,
17. Maher M. R, and Severn R.T, (1989). Impulsive hydrodynamic pressure in ground-based cylindrical structures. *Journal of Fluids and Structures, Vol. 3*, pp. 555-577.

18. Malhotra P. K, and Veletsos A. S, (1994). Beam Model for Uplifting Analysis of Cylindrical Tanks. *Journal Str. Engineering, ASCE*, 120 (12), 3471-3488.
19. Malhotra P. K, and Veletsos A. S, (1994). Uplifting Analysis of Base Plates in Cylindrical Tanks. *Journal Str. Engineering, ASCE*, 120 (12), 3489-3505.
20. Malhotra P. K, and Veletsos A. S, (1994). Uplifting Response of Un-Anchored Liquid- Storage Tanks. *Journal Str. Engineering, ASCE*, 120 (12), 3525-3547.
21. Malhotra P, (1995). Base Uplifting Analysis of Flexibly Supported Liquid Storage Tanks. *Journal Earthquake Engineering Str. Dyn*, 24 (12), 1591-1607.
22. Malhotra P, (1997). Seismic Response of Soil Supported Un-Anchored Liquid-Storage Tanks. *Journal Str. Engineering, ASCE*, 123 (4), 440-450.
23. Younan A. H, and Veletsos A. S, (Jan. 1998). Dynamics of solid-containing tanks I. Rigid tanks. *Journal of Structural Engineering*, Vol. 124. No. 1. pp. 52-61.
24. Younan A. H, and Veletsos A. S, (Jan. 1998). Dynamics of solid-containing tanks. II. Flexible tanks. *Journal of Structural Engineering* Vol. 124. No. 1. pp. 62-70.
25. Eshghi S, and Ahari M. N, (2001). Evaluation of Seismic Vulnerability of Oil Storage Tanks. *Proc. SEE4, Int. Conf. Tehran. Iran (In Persian)*.
26. Eshghi S, and Razzaghi M. S, (2005). Performance of Industrial Facilities in the 2003 Bam Iran Earthquake. *Earthquake Spectra*, 21 (S1), 395-410.
27. Nachtigal I, Gebbeken N, and Urrutia Galicia J, (2003). On the Analysis of Vertical Cylindrical Tanks under Earthquake Excitation at Base. *Journal Engineering Structures*, 25, 201-213.
28. ASCE (2001). Seismic Fragility Formulations for Water Systems Part 1 Guidelines. *American Lifeline Alliances, USA*.
29. Barton D. C, and Parker J. V, (1987). Finite Element Analysis of the Seismic Response of Anchored and Un-Anchored Liquid Storage Tanks. *Journal Earthquake Engineering and Str. Dyn*, 15, 299-322.
30. Mezaini N, (2006). Effects of Soil-Structure Interaction on Analysis of Cylindrical Tanks. *Journal Practice Periodical on Str. Design and Const. ASCE*, 11 (1), 50-57.
31. Maher M. R, and Severn R. T, (1986). Hydrodynamic effects in steel liquid storage tanks Steel Structures. *Recent Research Advances and their Applications to Design*, pp. 483-508.
32. Watawala L, and Nash W. A, (1983). Influence of initial geometric imperfections on Vibrations of thin circular cylindrical shells. *Computers & Structures*, Vol. 16. No.1-4. pp. 125-130.
33. Takabatake H, and Matsouka O, (1987). Elastic analysis of circular cylindrical shells By rod theory including distortion of cross-section. *International Journal of Solids And Structures*, Vol. 23. pp. 797-817.
34. Zui H, Shinke T, (1985). Seismic response analysis of cylindrical tanks with initial irregularities on side walls. *Journal of Pressure Vessel Technology, ASME*, 107 (2), 107-17.
35. Niwa A, (1978). Seismic behavior of tall liquid storage tanks. *Earthquake Engineering Research Center, University of California Berkeley*, 330 pages.
36. Watawala L, Nash W. A, (1983). Influence of initial geometric imperfections on vibrations of thin circular cylindrical shells. *Computers & Structures*, 16 (1-4), 125-130.
37. Zui H, Shinke T, (1985). Seismic response analysis of cylindrical tanks with initial irregularities on side walls. *Journal of Pressure Vessel Technology, ASME*, 107 (2), 107-117.

38. Dehghan Manshadi S. H, Maher M. R, (2010). The effects of long term corrosion on the dynamic characteristics of ground base cylindrical liquid storage tanks. *Thin-Walled Structures*, 88-96.
39. Maher M. R, Abdollahi A, (2013). The effects of long term uniform corrosion on the buckling of ground based steel tanks under seismic loading. *Thin-Walled Structures*, 1-9.
40. Vakeily Morteza & Hossen Shokaty, (2014). Buckling of cylindrical open-topped steel tanks under wind load. *Spatial Structures Research Center, Zhejiang University, Hangzhou 310058, China*.
41. Abaqus/CAE 6.10, and Analysis User Manual.

۴۲. محسن حیدری و محمد آهنگر (۱۳۹۴)، مجموعه کتاب‌های زیر ذره بین سری عمران استاندارد ۲۸۰۰، صفحه ۱۳۵ الی ۱۳۸.